

# **Compilation et vérification de programmes LOTOS**

**Hubert Garavel**

**I.N.R.I.A. et L.G.I.-I.M.A.G.**

## 1 Spécification et vérification en LOTOS

- 1 Description du langage LOTOS
- 2 Présentation du modèle graphe
- 3 Techniques de vérification formelle

## 2 Approche dynamique

- 1 Outils existants
- 2 Inconvénients

## 3 Approche statique

- 1 Principes
- 2 Présentation du langage SUBLOTOS
- 3 Expansion
- 4 Présentation du modèle réseau
- 5 Génération
- 6 Optimisation
- 7 Simulation
- 8 Comparaison des deux approches

# Le langage LOTOS

2

## Language Of Temporal Ordering Specification

- langage de description de **systemes distribués asynchrones**
- **normalisé** par l'ISO et le CCITT
- **protocoles et services de télécommunications OSI**

Deux parties orthogonales :

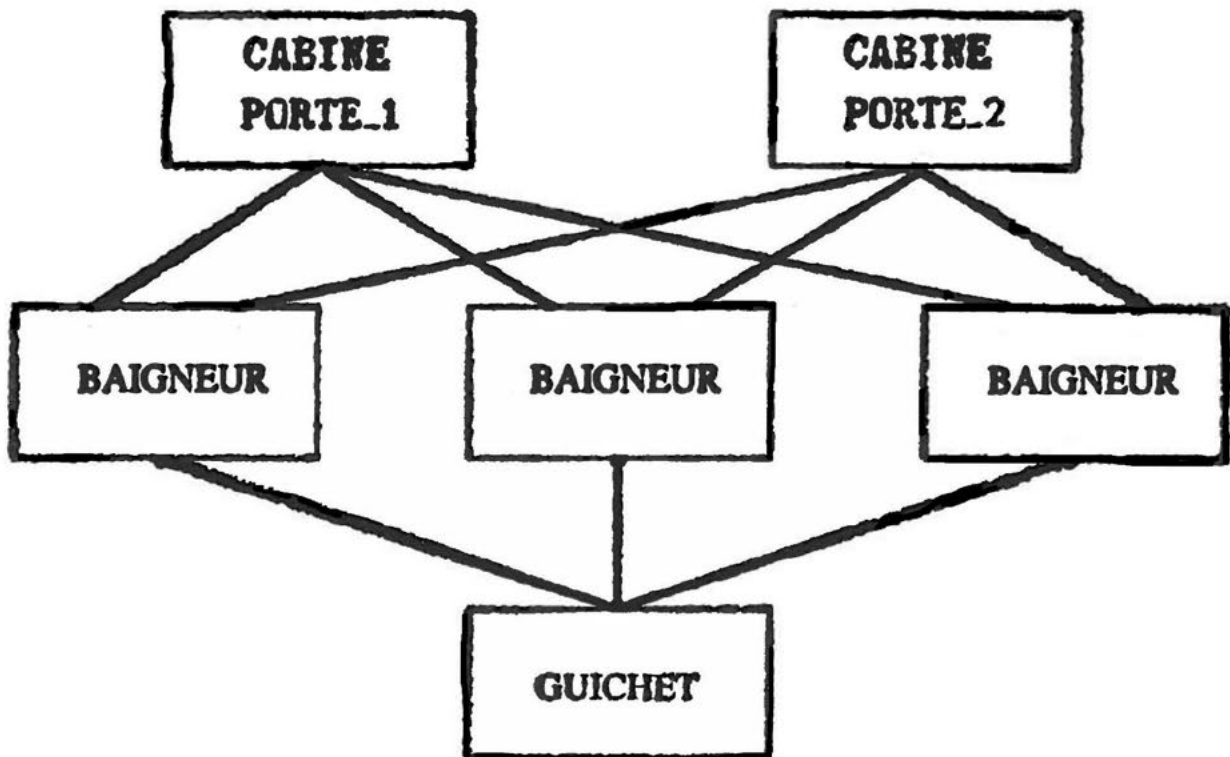
- **partie contrôle :**

- processus parallèles communicants
- rendez-vous symétrique  $n$ -aire
- algèbre de processus
  - \* CCS [Milner]
  - \* TCSP [Brookes-Hoare-Roscoe]

- **partie données :**

- types abstraits algébriques
- inspiré du langage ACT-ONE [Ehrig-Mahr-Fey-Hansen]

# Le langage LOTOS : aspects parallèles 3



**process CABINE [PORTE] ... endproc**

**process BAIGNEUR [PORTE\_1, PORTE\_2, GUICHET] ... endproc**

**process VESTIAIRE [GUICHET] (...) ... endproc**

**(CABINE [P1] ||| CABINE [P2])**

**| [P1, P2] |**

**(BAIGNEUR [P1, P2, G] ||| ... ||| BAIGNEUR [P1, P2, G])**

**| [G] |**

**VESTIAIRE [G]**

# Le langage LOTOS : aspects séquentiels 4

```
process CABINE [PORTE] ...
  PORTE !ENTRER;
  PORTE !SORTIR;
  CABINE [PORTE]
endproc
```

```
process BAIGNEUR [PORTE_1, PORTE_2, GUICHET] ...
  choice P in [PORTE_1, PORTE_2] []
    P !ENTRER;
    P !SORTIR;
    GUICHET !DEPOSER ?N:NUMERO_PANIER;
    i;
    GUICHET !REPRENDRE !N;
    choice P in [PORTE_1, PORTE_2] []
      P !ENTRER;
      P !SORTIR;
      stop
  endproc
```

```
process VESTIAIRE [GUICHET] (PANIERS_VIDES:ENSEMBLE) ...
  choice N:NUMERO_PANIER []
    [N ∈ PANIERS_VIDES] ->
      GUICHET !DEPOSER !N;
      VESTIAIRE [GUICHET] (PANIERS_VIDES - {N})
  []
  GUICHET !REPRENDRE ?N:NUMERO_PANIER
  VESTIAIRE [GUICHET] (PANIERS_VIDES ∪ {N})
endproc
```

inaction

**stop**

préfixage

$G O_1, \dots O_n \llbracket V_0 \rrbracket ; B_0$

choix non-déterministe

$B_1 \square B_2$

composition parallèle

$B_1 \mid \llbracket G_1, \dots G_n \rrbracket \mid B_2$

abstraction

**hide**  $G_0, \dots G_n$  **in**  $B_0$

garde

$\llbracket V_0 \rrbracket \rightarrow B_0$

définition de variables

**let**  $\widehat{X}_0 : S_0 = V_0, \dots \widehat{X}_n : S_n = V_n$  **in**  $B_0$

choix généralisé sur les variables

**choice**  $\widehat{X}_0 : S_0, \dots \widehat{X}_n : S_n \square B_0$

choix généralisé sur les portes

**choice**  $\widehat{G}_0$  **in**  $\llbracket \widehat{G}'_0 \rrbracket, \dots \widehat{G}_n$  **in**  $\llbracket \widehat{G}'_n \rrbracket \square B_0$

composition parallèle généralisée

**par**  $\widehat{G}_0$  **in**  $\llbracket \widehat{G}'_0 \rrbracket, \dots \widehat{G}_n$  **in**  $\llbracket \widehat{G}'_n \rrbracket \mid \llbracket G_1, \dots G_n \rrbracket \mid B_0$

terminaison

**exit**  $(R_1, \dots R_n)$

composition séquentielle

$B_1 \gg$  **accept**  $\widehat{X}_1 : S_1, \dots \widehat{X}_n : S_n$  **in**  $B_2$

interruption

$B_1 \lhd B_2$

appel de processus

$P \llbracket G_1, \dots G_n \rrbracket (V_1, \dots V_m)$

avec comme non-terminaux :

$B$  : comportement (*behaviour*)     $G$  : porte (*gate*)

$X$  : variable     $V$  : valeur     $S$  : sorte

- relation de dérivation

$$B \xrightarrow{G !V_1 \dots !V_n} B'$$

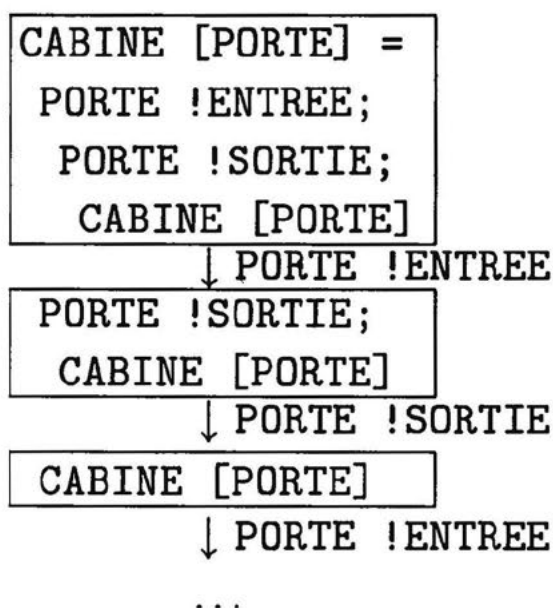
- définie par induction structurelle sur les comportements

$$\frac{true}{(G; B_0) \xrightarrow{G} B_0}$$

$$\frac{B_1 \xrightarrow{L} B'_1}{(B_1 \square B_2) \xrightarrow{L} B'_1} \qquad \frac{B_2 \xrightarrow{L} B'_2}{(B_1 \square B_2) \xrightarrow{L} B'_2}$$

- **graphe** : système de transitions correspondant

- **état** = comportement LOTOS
- **arc** = dérivation



## Problème

- vérifier qu'un programme LOTOS satisfait certaines propriétés
  - démonstrateurs
  - générateurs de modèle :
    - \* convertir le programme LOTOS en graphe
    - \* valider les propriétés sur ce graphe

## Utilisation d'équivalences

- critères d'abstraction sur le graphe à vérifier
- réduction modulo équivalences
- résultat :  $\text{graphe}_1 \sim \text{graphe}_2$
- outils : ALDEBARAN [LGI-IMAG], AUTO [INRIA], ...

## Utilisation de logiques temporelles

- propriétés décrites par des modalités
- résultat :  $\text{graphe} \models \text{formule}$
- outils : CESAR [LGI-IMAG], ...

## Le principe CESAR

- systèmes décrits en **langage de haut niveau**
- validation par **génération de modèle**
- propriétés exprimées en **logique temporelle**

outil	langage à vérifier	logique employée
QUASAR	CSP	CTL
XESAR	ESTELLE/R	LTAC
CÆSAR	LOTOS	?

## Une logique temporelle pour LOTOS : $RICO^*$

- formule : ensemble d'arcs du graphe
- logique arborescente
- expressivité des logiques linéaires (séquences)
- aspects temporels décrits par des expressions régulières
- quantificateurs du 1<sup>er</sup> ordre sur les valeurs et sur les arcs

# Implémentation “dynamique” de LOTOS <sup>9</sup>

## Outils existants

- interprète : HIPPO [Twente], UOLOTOS [Ottawa], ...
- compilateur : LOTOS→C [Madrid]
- démonstrateur : Boyer-Moore [British Telecom]
- générateur de modèles : Squiggles [Pise]

## Principe commun

- construction (exhaustive ou partielle) du graphe
- par application directe des règles sémantiques

## Inefficacité

- coût en mémoire :
  - chaque état du graphe est un terme algébrique
- coût en temps :
  - détermination des règles à appliquer
  - comparaison des états pour détecter les circuits

## Conséquences

- en théorie, on peut traiter tout LOTOS
- en pratique, seulement une classe très restreinte de programmes
- domaine d'application : interprète en pas à pas (mise au point)
- **crédibilité de LOTOS ?**

# Implémentation “statique” de LOTOS 10

## Motivations

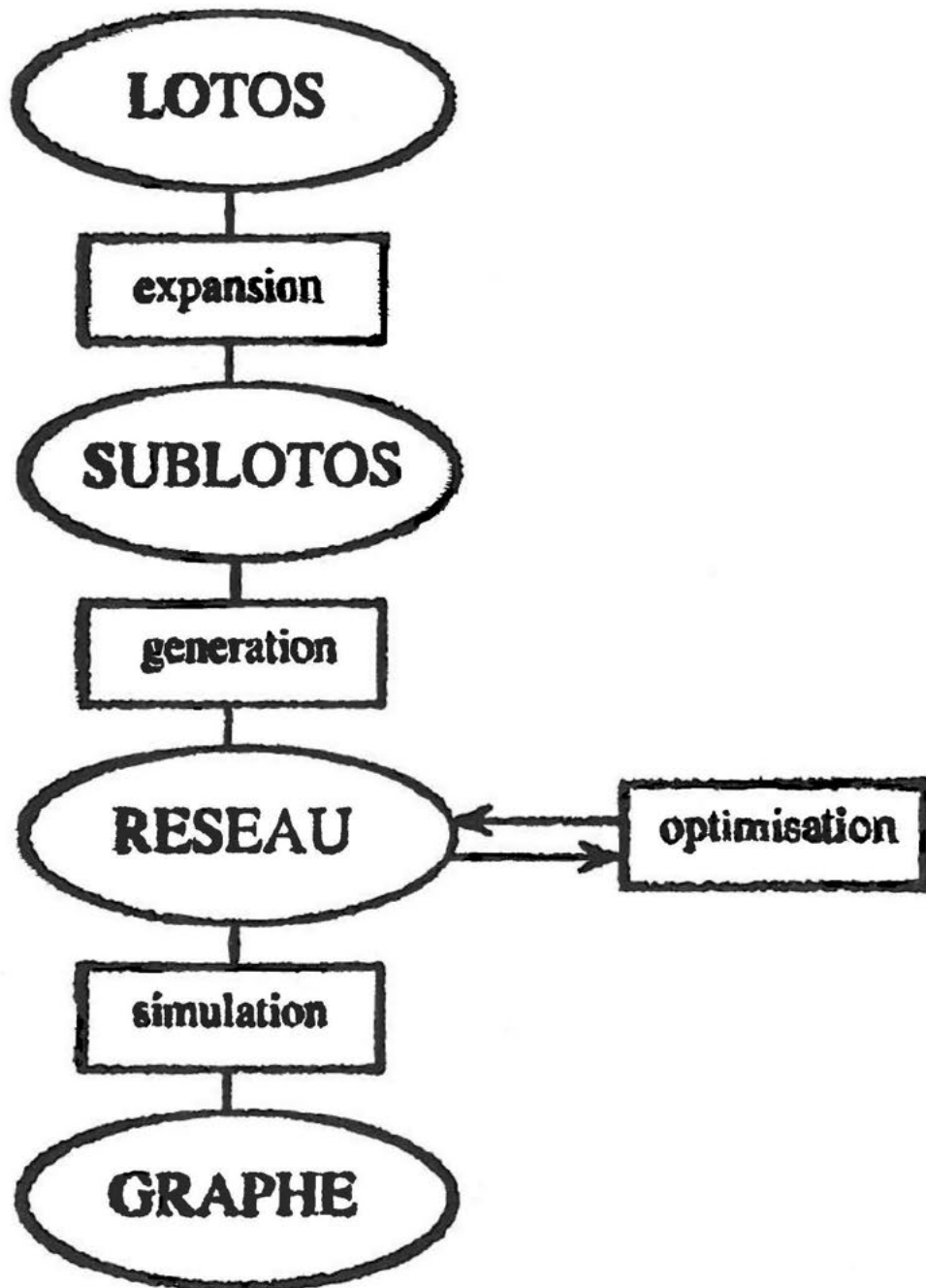
- traiter des programmes LOTOS non triviaux
- système de vérification par génération de modèles
- produire **rapidement** des graphes **complexes**

## Principes

- **compiler** et non **interpréter**
- séparer compilation et exécution (**simulation**)
- déplacer le maximum de calculs de l'exécution vers la compilation
  - détermination des rendez-vous possibles
  - évaluation des gardes
- conserver les résultats dans des **formes intermédiaires**

## Conséquences

- ne pas traduire directement LOTOS → graphe, mais par étapes
- choisir judicieusement des formes intermédiaires :
  - capables de modéliser contrôle et données
  - économes en mémoire
  - efficaces à manipuler
  - simples et générales



## Problème

Traduire LOTOS, langage **dynamique** vers un modèle **statique**.

LOTOS	SUBLOTOS
<b>architecture dynamique</b>	<b>architecture statique</b>
création/destruction de processus pendant l'exécution	processus constants et fixés à la compilation
création/destruction de portes pendant l'exécution	portes constantes et fixées à la compilation
<b>langage fonctionnel</b>	<b>langage impératif</b>
"constantes dynamiques" variables locales gérées en pile	"variables d'état" variables globales
passage de paramètre	affectation

## Restrictions

- cette traduction n'est pas possible pour la totalité de LOTOS
- hypothèse du **contrôle statique**
  - interdire les appels récursifs de processus à travers "|||"
 

```

                    process P [...] ...
                    ... ||| P [...]
                    endproc
                    
```
  - interdire les appels récursifs à gauche de "[>" et ">>"
  - (tous les autres appels récursifs sont permis)
- contrôle statique et domaines finis  $\implies$  graphe fini

## SUBLOTOS

- algèbre de processus, contenue dans LOTOS
- syntaxe et sémantique opérationnelle définies formellement
- sémantique analogue à LOTOS pour le contrôle
- mais plus "impérative" pour les données

# Le langage SUBLOTOS

13

$$\frac{eval(V_0, C') = true}{\langle G \ O_1, \dots \ O_n[V_0] ; B_0, C \rangle \xrightarrow{G \ V'_1, \dots \ V'_n} \langle B_0, C' \rangle}$$

où :

$$\begin{aligned} (\forall i \in \{1, \dots, n\}) \ V'_i &= \begin{cases} \text{si } O_i = !V_i \text{ alors } eval(V_i, C) \\ \text{si } O_i = ?X_i : S_i \text{ alors } \text{oneof}(\text{domain}(S_i)) \end{cases} \\ C' &= C \circledast \bigoplus_{i \in \{1, \dots, n\}} C'_i \\ (\forall i \in \{1, \dots, n\}) \ C'_i &= \begin{cases} \text{si } O_i = !V_i \text{ alors } \perp \\ \text{si } O_i = ?X_i : S_i \text{ alors } X_i \rightsquigarrow V'_i \end{cases} \\ \langle B_1, C \rangle &\xrightarrow{L} \langle B'_1, C' \rangle \\ \langle B_1 \square B_2, C \rangle &\xrightarrow{L} \langle B'_1, C' \rangle \\ \langle B_2, C \rangle &\xrightarrow{L} \langle B'_2, C' \rangle \\ \langle B_1 \square B_2, C \rangle &\xrightarrow{L} \langle B'_2, C' \rangle \\ \langle B_1, C \rangle &\xrightarrow{i \bullet 1} \langle B'_1, C' \rangle \\ \langle B_1 \parallel B_2, C \rangle &\xrightarrow{i \bullet 1} \langle B'_1 \parallel B_2, C' \rangle \\ \langle B_2, C \rangle &\xrightarrow{i \bullet 1} \langle B'_2, C' \rangle \\ \langle B_1 \parallel B_2, C \rangle &\xrightarrow{i \bullet 1} \langle B_1 \parallel B'_2, C' \rangle \\ \langle (B_1, C) \xrightarrow{L} \langle B'_1, C'_1 \rangle \rangle \wedge \langle (B_2, C) \xrightarrow{L} \langle B'_2, C'_2 \rangle \rangle \wedge (gate(L) \neq i \bullet 1) & \\ \langle B_1 \parallel B_2, C \rangle &\xrightarrow{L} \langle B'_1 \parallel B'_2, \text{merge}(C, C'_1, C'_2) \rangle \\ \langle (B_1, C) \xrightarrow{L} \langle B'_1, C' \rangle \rangle \wedge (gate(L) \notin \{G_0, \dots, G_n\}) & \\ \langle B_1 \mid [G_0, \dots, G_n] \mid B_2, C \rangle &\xrightarrow{L} \langle B'_1 \mid [G_0, \dots, G_n] \mid B_2, C' \rangle \\ \langle (B_2, C) \xrightarrow{L} \langle B'_2, C' \rangle \rangle \wedge (gate(L) \notin \{G_0, \dots, G_n\}) & \\ \langle B_1 \mid [G_0, \dots, G_n] \mid B_2, C \rangle &\xrightarrow{L} \langle B_1 \mid [G_0, \dots, G_n] \mid B'_2, C' \rangle \\ \langle (B_1, C) \xrightarrow{L} \langle B'_1, C'_1 \rangle \rangle \wedge \langle (B_2, C) \xrightarrow{L} \langle B'_2, C'_2 \rangle \rangle \wedge (gate(L) \in \{G_0, \dots, G_n\}) & \\ \langle B_1 \mid [G_0, \dots, G_n] \mid B_2, C \rangle &\xrightarrow{L} \langle B'_1 \mid [G_0, \dots, G_n] \mid B'_2, \text{merge}(C, C'_1, C'_2) \rangle \\ \langle (B_0, C) \xrightarrow{L} \langle B'_0, C' \rangle \rangle \wedge (gate(L) \in \{G_0, \dots, G_n\}) & \\ \langle \text{hide } G_0, \dots, G_n \text{ in } B_0, C \rangle &\xrightarrow{i \bullet 1} \langle \text{hide } G_0, \dots, G_n \text{ in } B'_0, C' \rangle \\ \langle (B_0, C) \xrightarrow{L} \langle B'_0, C' \rangle \rangle \wedge (gate(L) \notin \{G_0, \dots, G_n\}) & \\ \langle \text{hide } G_0, \dots, G_n \text{ in } B_0, C \rangle &\xrightarrow{L} \langle \text{hide } G_0, \dots, G_n \text{ in } B'_0, C' \rangle \\ \langle (B_0, C) \xrightarrow{L} \langle B'_0, C' \rangle \rangle \wedge (eval(V_0, C) = true) & \\ \langle ([V_0] \rightarrow B_0, C) \rangle &\xrightarrow{L} \langle B'_0, C' \rangle \\ \langle \text{let } \widehat{X}_0 : S_0 = V_0, \dots, \widehat{X}_n : S_n = V_n \text{ in } B_0, C \rangle & \\ \langle B_0, C \circledast \bigoplus_{i \in \{0, \dots, n\}} (\widehat{X}_i \rightsquigarrow eval(V_i, C)) \rangle & \\ \langle \text{choice } \widehat{X}_0 : S_0, \dots, \widehat{X}_n : S_n \square B_0, C \rangle & \\ \langle B_0, C \circledast \bigoplus_{i \in \{0, \dots, n\}} C_i \rangle & \end{aligned}$$

où :

$$\begin{aligned} \text{si } \widehat{X}_i \equiv X_0, \dots, X_p \text{ alors } C_i &= \bigoplus_{j \in \{0, \dots, p\}} (X_j \rightsquigarrow \text{oneof}(\text{domain}(S_i))) \\ \langle B_1, C \rangle &\xrightarrow{L} \langle B'_1, C' \rangle \wedge (gate(L) \neq G_0) \\ \langle B_1 [G_0 > B_2, C] \rangle &\xrightarrow{L} \langle B'_1 [G_0 > B_2, C'] \rangle \\ \langle P [G_0, \dots, G_m] (V_1, \dots, V_n), C \rangle & \\ \langle \text{behaviour}(P), C \circledast \bigoplus_{i \in \{1, \dots, n\}} (\text{var}_i(P) \rightsquigarrow eval(V_i, C)) \rangle & \end{aligned}$$

## Objectifs

- traduire LOTOS en SUBLOTOS
- obtenir des processus/portes statiques et des variables globales

## Simplification des opérateurs

- élimination de “**choice**”, “**par**”, “**exit**”, “>>” et “|||”

## Développement des processus

- processus non récursifs
- processus récursifs
  - développement **limité** pour éviter la récursion à l’infini
  - critère d’arrêt : *portes effectives = portes formelles*

```
process CABINE [ENTREE, SORTIE] ...  
    ENTREE;  
    CABINE [SORTIE, ENTREE]  
endproc
```

devient :

```
process CABINE [ENTREE, SORTIE] ...  
    ENTREE;  
    SORTIE;  
    CABINE [ENTREE, SORTIE]  
endproc
```

- preuve de terminaison sous l’hypothèse du contrôle statique
- après terminaison tous les objets sont statiques et globaux

# Les opérateurs LOTOS éliminés par l'expansion

15

**inaction**

**stop**

**préfixage**

$G O_1, \dots O_n [V_0] ; B_0$

**choix non-déterministe**

$B_1 \square B_2$

**composition parallèle**

$B_1 \parallel [G_1, \dots G_n] \parallel B_2$

**abstraction**

**hide**  $G_0, \dots G_n$  in  $B_0$

**garde**

$[V_0] \rightarrow B_0$

**définition de variables**

**let**  $X_0:S_0=V_0, \dots X_n:S_n=V_n$  in  $B_0$

**choix généralisé sur les variables**

**choice**  $X_0:S_0, \dots X_n:S_n \square B_0$

**choix généralisé sur les portes**

**choice**  $\bar{G}_0$  in  $[G_0], \dots \bar{G}_n$  in  $[G_n] \square B_0$

**composition parallèle généralisée**

**par**  $\bar{G}_0$  in  $[G_0], \dots \bar{G}_n$  in  $[G_n] \parallel [G_1, \dots G_n] \parallel B_0$

**termination**

**exit**  $(R_1, \dots R_n)$

**composition séquentielle**

$B_1 \gg \text{accept } X_1:S_1, \dots X_n:S_n$  in  $B_2$

**interruption**

$B_1 [ > B_2$

**appel de processus**

$P [G_1, \dots G_n] (V_1, \dots V_m)$

## Objectifs

- ne pas traduire directement SUBLOTOS en graphe
- rechercher une seconde forme intermédiaire
  - sémantique impérative au niveau du contrôle
  - modélisation concise du parallélisme
  - deux solutions :  $\left\{ \begin{array}{l} \text{automates communicants} \\ \text{réseaux de Petri} \end{array} \right.$

## Modélisation du contrôle

- ensemble de places
- ensemble de transitions
  - un ensemble de places d'entrée et de sortie
  - une porte et une liste d'offres (“!V” ou “?X:S”) afin d'exprimer les rendez-vous
- contrôle statique  $\implies$  marquage sauf

## Modélisation des données

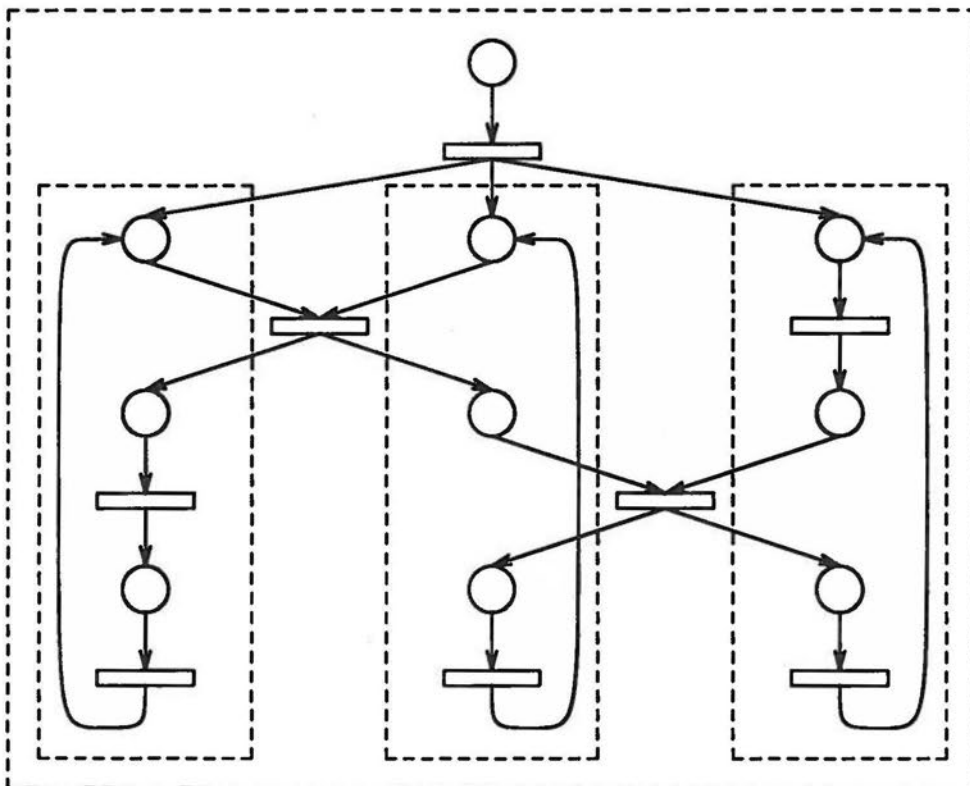
- ensemble de variables d'état
- actions attachées aux transitions (affectations, conditions, itérations, ...)

## $\varepsilon$ -transitions

- rôle compositionnel dans la construction du réseau
  - transitions **fork** (“||”)
  - actions sur les données (“->”, “**let**”, “**choice**”)
  - transferts de contrôle (“[>”, récursion)
- franchissement invisible
- franchissement atomique

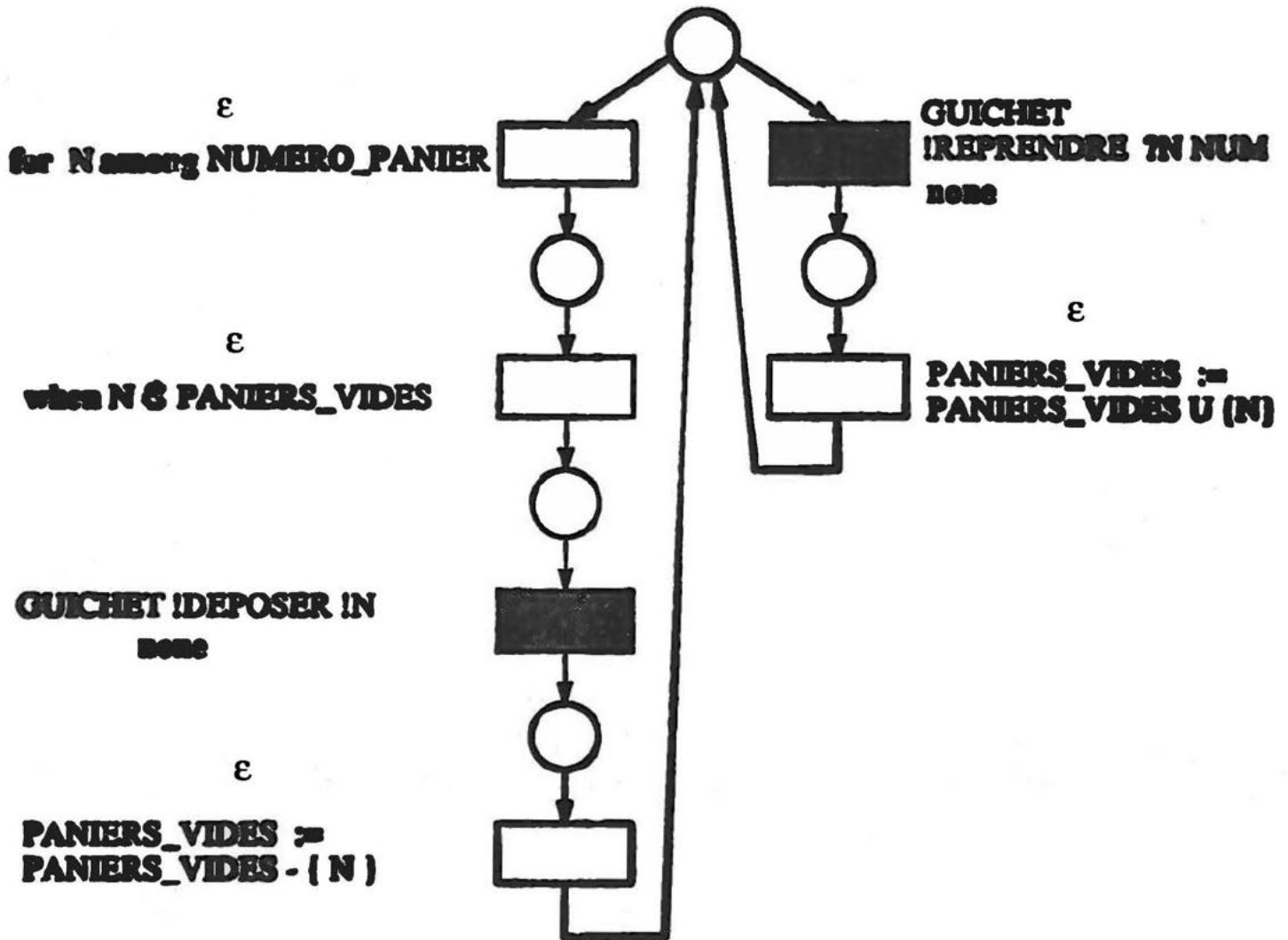
## Structuration en unités

- unité : ensemble de places définissant une tâche séquentielle
- unités hiérarchiquement imbriquées



## Sémantique opérationnelle

- définie par une relation de transition
- basée sur les règles d'évolution des réseaux de Petri interprétés
- règles additionnelles pour les  $\varepsilon$ -transitions



$$\frac{(M_1 \supseteq M_{in}) \wedge (M_2 = (M_1 - M_{in}) \cup M_{out})}{[M_1, M_{in}, M_{out}] \xrightarrow{m} M_2}$$

$$\frac{C_1 = C_2}{[C_1, \mathbf{none}] \xrightarrow{c} C_2}$$

$$\frac{(eval(V, C_1) = true) \wedge (C_1 = C_2)}{[C_1, \mathbf{when } V] \xrightarrow{c} C_2}$$

$$\frac{C_2 = C_1 \circ \oplus_{i \in \{0, \dots, n\}} (\widehat{X}_i \rightsquigarrow eval(V_i, C_1))}{[C_1, \widehat{X}_0, \dots, \widehat{X}_n := V_0, \dots, V_n] \xrightarrow{c} C_2}$$

$$\frac{C_2 = C_1 \circ \oplus_{i \in \{0, \dots, n\}} (\oplus_{X_j \in \widehat{X}_i} (X_j \rightsquigarrow oneof(S_i)))}{[C_1, \mathbf{for } \widehat{X}_0, \dots, \widehat{X}_n \mathbf{ among } S_0, \dots, S_n] \xrightarrow{c} C_2}$$

$$\frac{([C_1, A_1] \xrightarrow{c} C) \wedge ([C, A_2] \xrightarrow{c} C_2)}{[C_1, A_1 ; A_2] \xrightarrow{c} C_2}$$

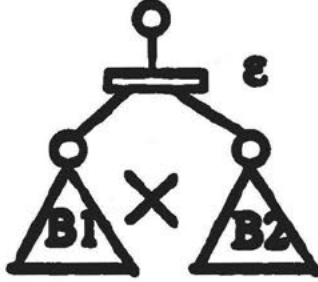
$$\frac{([C_1, A_1 ; A_2] \xrightarrow{c} C_2) \wedge ([C_1, A_2 ; A_1] \xrightarrow{c} C_2)}{[C_1, A_1 \& A_2] \xrightarrow{c} C_2}$$

$$\frac{([M_1, in(T), out(T)] \xrightarrow{m} M_2) \wedge ([C_1, action(T)] \xrightarrow{c} C_2) \wedge (L = eval\_label(gate(T), offer(T), C_2))}{[\langle M_1, C_1 \rangle, T] \xrightarrow{p} [\langle M_2, C_2 \rangle, L]}$$

$$\frac{(\exists T) (\exists \pi) (gate(T) \neq \varepsilon) \wedge ([\pi, T] \xrightarrow{p} [\pi_2, L]) \wedge (\text{il existe une } \varepsilon\text{-chaîne allant de } \pi_1 \text{ à } \pi) \wedge (\text{pour toute } \varepsilon\text{-chaîne } \pi'_1, \dots, \pi'_n \text{ allant de } \pi_1 \text{ à } \pi) (\forall i \in \{1, \dots, n-1\}) (in(T) \not\subseteq marking(\pi'_i)) \vee (marking(\pi'_i) = marking(\pi))}{\pi_1 \xrightarrow{L} \pi_2}$$

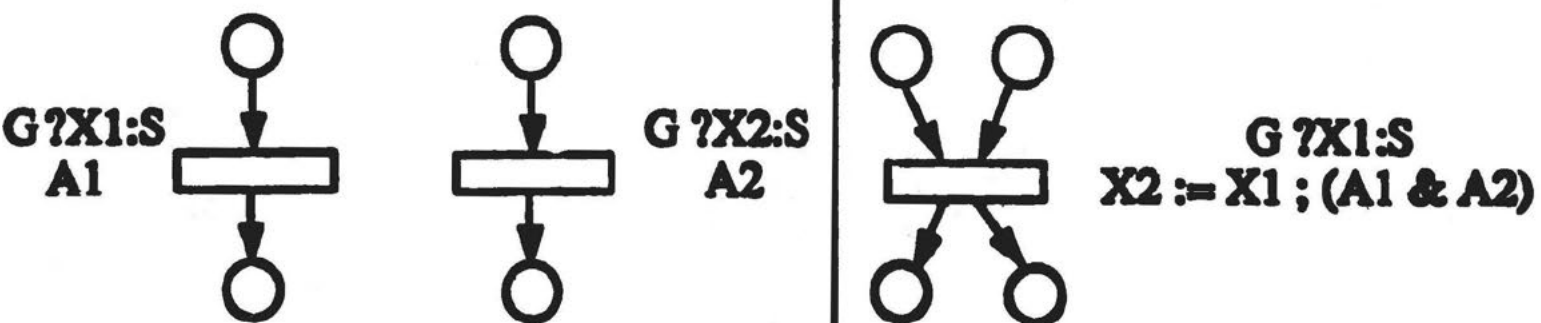
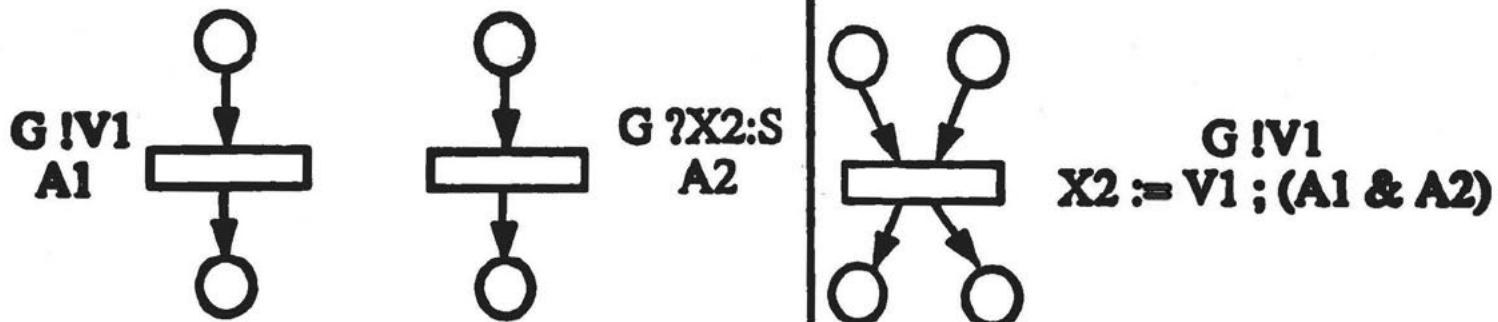
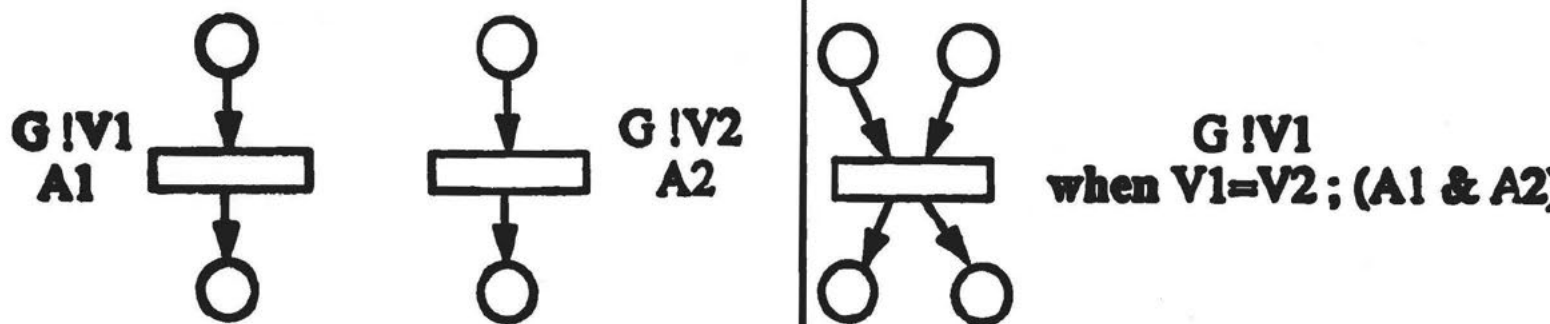
## Objectifs

- construire le réseau correspondant à un programme **SUBLOTOS**
- par induction structurale sur les comportements

<p><b>stop</b></p>	
<p><b>G ; B</b></p>	
<p><b>B1 [] B2</b></p>	
<p><b>B1    B2</b></p>	

$[V] \rightarrow B$	 $\varepsilon$ when V
let X:S=V in B	 $\varepsilon$ X := V
choice X:S □ B	 $\varepsilon$ for X among S
$B1 [ > B2$	
instantiation récursive	boucle dans le réseau

# Génération : couplage des transitions 21



## Motivations

- algorithme de génération simple et systématique
- sans considérer les cas particuliers  $\implies$  inefficacités locales
- optimiser la taille du réseau (places, transitions, variables)

## Catalogue d'optimisations

- **contrôle**
  - fusion d' $\varepsilon$ -transitions
  - places simultanément marquées
  - places et transitions inaccessibles et improductives
- **données**
  - affectations de la forme  $X := X$
  - variables constamment égales
  - variables inutilisées

## Résultats

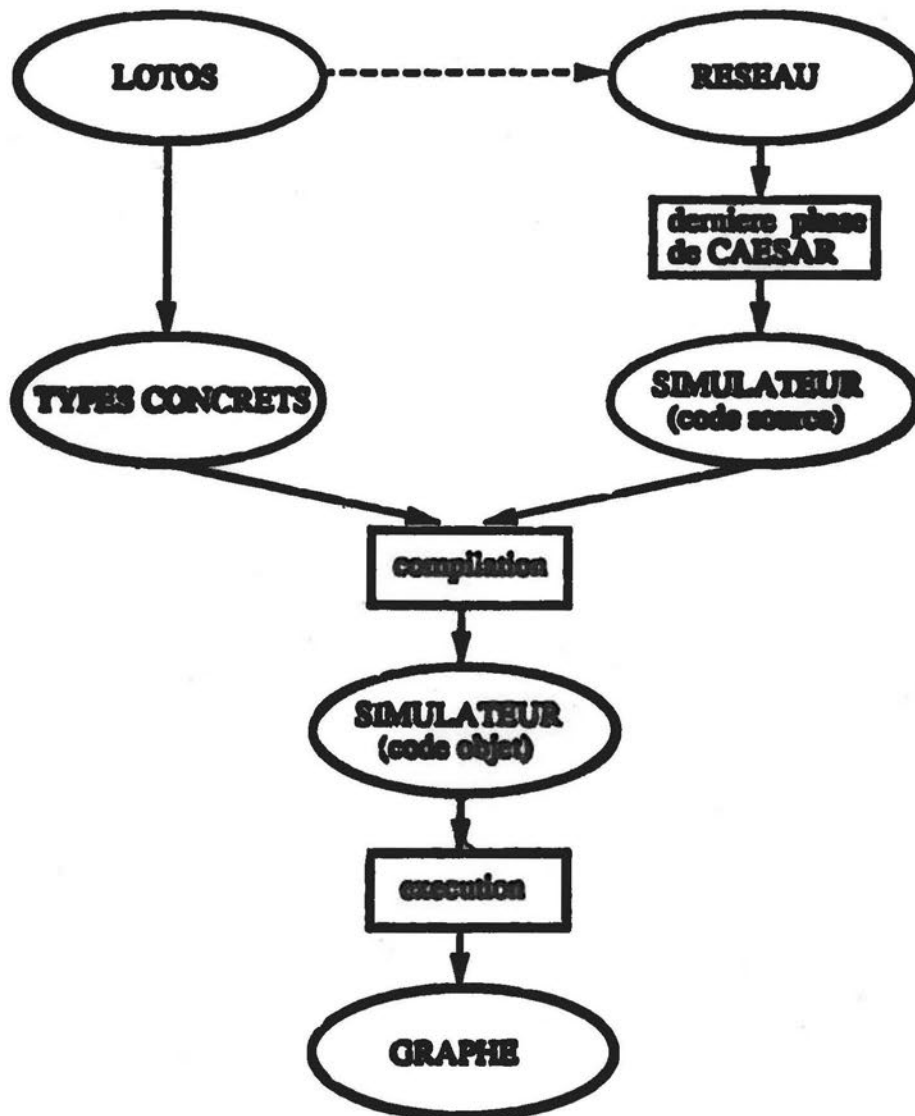
- gains importants (40% des places, transitions, variables)
- deux catégories d'optimisations :
  - celles qui corrigent la génération ( $\varepsilon$ -transitions)
  - celles qui sont propres à LOTOS (variables)
- effet d'amplification à la simulation :  
petite réduction du réseau  $\implies$  réduction massive du graphe
- concentrer les efforts sur le modèle réseau

## Objectifs

- traduire un réseau en graphe

## Le programme simulateur

- les types abstraits LOTOS doivent être compilés en C
- il est impossible d'avoir un traducteur universel réseau → graphe
- production d'un programme simulateur en langage C



## Fonctionnement du simulateur

- point commun entre QUASAR, XESAR et CÆSAR
- parcours en largeur du graphe
- archivage des états rencontrés
- représentation des états
  - **marquage** : ensemble de places du réseau
  - **contexte** : valeurs des variables d'état
  - **état** : couple  $\langle$ marquage, contexte $\rangle$
- tir des transitions
  - évolution des marquages : règles des réseaux de Petri
  - évolution des contextes : actions des transitions
- impression du graphe sous différents formats

# Comparaison entre les approches dynamique et statique

## Statistiques

<i>exemple</i>	<i>nombre d'états</i>	SQUIGGLES	CÆSAR
max2	5	6s	2s
max3	11	7s	2s
max5	47	47s	3s
max7	191	31mn	5s
max9	767	4h 41mn	14s

Pourquoi l'approche statique est-elle meilleure ?

	approche dynamique	approche statique
représentation des états	termes algébriques	⟨marquage, contexte⟩
franchissement des transitions	règles de dérivation	lois d'évolution des réseaux de Petri interprétés
détection des circuits	équivalence entre termes	comparaison des états sous forme normale

## Nouvelle approche de la compilation de LOTOS

- traitement d'un sous-ensemble significatif de LOTOS
- génération efficace du modèle graphe
- introduction de formes intermédiaires :
  - le langage SUBLOTOS
  - le modèle réseau
- méthode de traduction définie formellement
- proposition d'une logique temporelle originale

## Réalisation du système CÆSAR

- implémentation complète de la méthode de traduction
- traitement d'exemples complexes (800 000 états et 3 500 000 arcs)
- débit élevé (entre 40 et 250 états/seconde sur SUN 3/60 8 Mo)
- interface avec 7 outils existants :  
ALDEBARAN (LGI-IMAG), AUTO (INRIA), MEC (Bordeaux),  
PIPN (LAAS), SCAN (BULL/ADI), SQUIGGLES (Pise), XE-  
SAR (LGI-IMAG)
- environ 25 000 lignes de code (langage C, SYNTAX<sup>®</sup>)
- prototype CÆSAR.ADT pour compiler les types abstraits en C

## Suite de ce travail

- preuve formelle du compilateur
  - montrer la correction des transformations successives
  - démonstration par induction sur les comportements
- nouvelles optimisations
  - élimination des  $\varepsilon$ -transitions
  - techniques propres aux réseaux de Petri
  - techniques d'analyse du flux des données
- évaluateur pour la logique temporelle  $RICO^*$

## De nouvelles applications

- au niveau du modèle **graphe** :
  - exécution interactive
  - génération de tests
  - vérification partielle
- au niveau du modèle **réseau** :
  - évaluation de performances
  - génération de prototypes (code séquentiel ou parallèle)
  - visualisation graphique de l'architecture

LOTOS : un “vrai” langage de programmation

# Un espoir pour la vérification formelle ? <sup>28</sup>

- problème : explosion du nombre d'états
- conserver l'approche "génération de modèles"
- mais réduire **avant** la simulation et non **après**
- appliquer des critères d'abstraction au réseau  
pour des équivalences plus faibles que l'équivalence forte
- réduction minimale du réseau  $\implies$  réduction importante du graphe